

Attaque de tatouage d'image

fondée sur estimation bayésienne non-linéaire
non-paramétrique dans le domaine des ondelettes

Larbi Boubchir, Ayoub Otmani et Nadia Zerida

GREYC UMR 6072 CNRS - ENSICAEN/Université de Caen
larbi.boubchir@greyc.ensicaen.fr
www.greyc.ensicaen.fr/~boubchir/



Plan

- 1 Généralités
 - Tatouage d'image
 - Attaque de tatouage
- 2 Débruitage multi-échelle
 - Transformée multi-échelle
 - Régression nonparamétrique
 - Paradigme bayésien
 - Débruiteur bayésien
- 3 Attaque de débruitage bayésien
 - Approche proposée
 - Algorithme 1
 - Algorithme 2
- 4 Challenge BOWS-2
 - Contexte
 - Résultats
- 5 Conclusion

Plan

- 1 Généralités
 - Tatouage d'image
 - Attaque de tatouage
- 2 Débruitage multi-échelle
 - Transformée multi-échelle
 - Régression nonparamétrique
 - Paradigme bayésien
 - Débruiteur bayésien
- 3 Attaque de débruitage bayésien
 - Approche proposée
 - Algorithme 1
 - Algorithme 2
- 4 Challenge BOWS-2
 - Contexte
 - Résultats
- 5 Conclusion

Plan

- 1 Généralités
 - Tatouage d'image
 - Attaque de tatouage
- 2 Débruitage multi-échelle
 - Transformée multi-échelle
 - Régression nonparamétrique
 - Paradigme bayésien
 - Débruiteur bayésien
- 3 Attaque de débruitage bayésien
 - Approche proposée
 - Algorithme 1
 - Algorithme 2
- 4 Challenge BOWS-2
 - Contexte
 - Résultats
- 5 Conclusion

Plan

- 1 Généralités
 - Tatouage d'image
 - Attaque de tatouage
- 2 Débruitage multi-échelle
 - Transformée multi-échelle
 - Régression nonparamétrique
 - Paradigme bayésien
 - Débruiteur bayésien
- 3 Attaque de débruitage bayésien
 - Approche proposée
 - Algorithme 1
 - Algorithme 2
- 4 Challenge BOWS-2
 - Contexte
 - Résultats
- 5 Conclusion

Plan

- 1 Généralités
 - Tatouage d'image
 - Attaque de tatouage
- 2 Débruitage multi-échelle
 - Transformée multi-échelle
 - Régression nonparamétrique
 - Paradigme bayésien
 - Débruiteur bayésien
- 3 Attaque de débruitage bayésien
 - Approche proposée
 - Algorithme 1
 - Algorithme 2
- 4 Challenge BOWS-2
 - Contexte
 - Résultats
- 5 Conclusion

Plan

- 1 Généralités
 - Tatouage d'image
 - Attaque de tatouage
- 2 Débruitage multi-échelle
 - Transformée multi-échelle
 - Régression nonparamétrique
 - Paradigme bayésien
 - Débruiteur bayésien
- 3 Attaque de débruitage bayésien
 - Approche proposée
 - Algorithme 1
 - Algorithme 2
- 4 Challenge BOWs-2
 - Contexte
 - Résultats
- 5 Conclusion

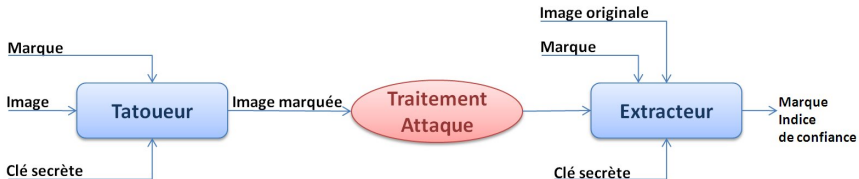
Problématique de tatouage d'image

Tatouage d'image (watermarking)

Rajouter dans une image une **marque** qui doit être :

- 1 **Imperceptible:**
 - invisible.
 - ne pas détériorer l'image.
- 2 **Spécificité:**
 - suffisamment spécifique pour être clairement identifiable lors de son extraction.
- 3 **Robuste:**
 - décelable même après un traitement du contenu de l'image (résultant d'une attaque, etc.).
 - robuste contre les dégradations (e.g. compression, ré-échantillonnage, déformation non-linéaires)

Chaîne de marquage



- **Tatoueur**: algorithme qui incruste la marque dans l'image.
- **Extracteur**: algorithme d'extraction qui retrouve la marque.
 - 1 **Type I**: détermine lui-même la marque.
 - 2 **Type II**: nécessite de savoir à l'avance la marque.
Réponse : oui/non ou indice de confiance (entre 0 et 1).

Plan

- 1 Généralités
 - Tatouage d'image
 - Attaque de tatouage
- 2 Débruitage multi-échelle
 - Transformée multi-échelle
 - Régression nonparamétrique
 - Paradigme bayésien
 - Débruiteur bayésien
- 3 Attaque de débruitage bayésien
 - Approche proposée
 - Algorithme 1
 - Algorithme 2
- 4 Challenge BOWs-2
 - Contexte
 - Résultats
- 5 Conclusion

Attaques de tatouage d'image

Attaque

Modification intentionnelle du contenu tatoué.

Deux types d'attaques:

- 1 **Attaques liées au signal/image**
 - s'attaquent au signal lui-même pour retirer la marque ou en ajoutant une sur-marque qui va masquer la première.
 - combinent des déformations géométriques imperceptiblement (e.g. rotations, filtrage, compression avec perte).
- 2 **Attaques de nature cryptologique**
 - déterminent des informations sur les clés à partir des images marquées.
 - cherchent à utiliser ces informations pour attaquer d'autres images.

Attaques de filtrage

Attaques de filtrage

Chercher à effacer le tatouage (marque).

Exemples

- compression (JPEG, JPEG 2000, etc.)
- ajout de bruit.
- restauration/débruitage.
- amplification.
- effets des logiciels de retouche.
- etc.

Attaque de débruitage

Restauration par transformée multi-échelle (ondelettes).

Plan

- 1 Généralités
 - Tatouage d'image
 - Attaque de tatouage
- 2 Débruitage multi-échelle
 - Transformée multi-échelle
 - Régression nonparamétrique
 - Paradigme bayésien
 - Débruiteur bayésien
- 3 Attaque de débruitage bayésien
 - Approche proposée
 - Algorithme 1
 - Algorithme 2
- 4 Challenge BOWs-2
 - Contexte
 - Résultats
- 5 Conclusion

Séries d'ondelettes

- **Ondelettes** correspond à la projection successive d'un signal \mathbf{Y} sur une base orthonormale, $L^2(\mathbb{R})$, de fonctions formées par dilatation et translation à partir d'une fonction d'échelle (ondelette père), Φ , et d'une ondelette mère Ψ .

$$\Psi_{j,k}(t) = \frac{1}{\sqrt{2^j}} \Psi(2^{-j}t - k)$$

$$\Phi_{j,k}(t) = \frac{1}{\sqrt{2^j}} \Phi(2^{-j}t - k), t \in [0, 1]$$

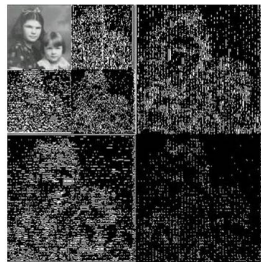
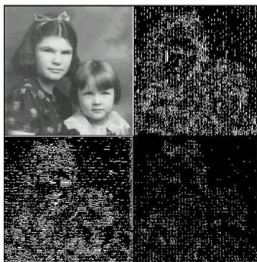
- **Décomposition en séries d'ondelettes**
la décomposition du signal \mathbf{Y} au niveau de résolution j est réalisé par une combinaison linéaire de fonction d'échelle Φ et d'ondelette Ψ

$$\mathbf{y}(t) = \sum_{k=0}^{2^{j_0}-1} c_{j_0,k} \Phi_{j_0,k}(t) + \sum_{j=j_0}^{\infty} \sum_{k=0}^{2^j-1} d_{j,k} \Psi_{j,k}(t) \text{ où } j_0 \geq 0, t \in [0, 1]$$

$$c_{j_0,k} = \langle \mathbf{y}, \Phi_{j_0,k} \rangle \text{ et } d_{j,k} = \langle \mathbf{y}, \Psi_{j,k} \rangle$$

Transformée multi-échelle

Transformée en ondelette séparable 2D



Relation entre les coefficients d'ondelettes

$$\sum_k c_{j+1,k} \Phi_{j+1,k}(t) = \sum_k c_{j,k} \Phi_{j,k}(t) + \sum_k d_{j,k} \Psi_{j,k}(t)$$

Plan

- 1 Généralités
 - Tatouage d'image
 - Attaque de tatouage
- 2 **Débruitage multi-échelle**
 - Transformée multi-échelle
 - **Régression nonparamétrique**
 - Paradigme bayésien
 - Débruiteur bayésien
- 3 Attaque de débruitage bayésien
 - Approche proposée
 - Algorithme 1
 - Algorithme 2
- 4 Challenge BOWs-2
 - Contexte
 - Résultats
- 5 Conclusion

Problème de la régression nonparamétrique

Régression nonparamétrique=débruitage

recouvrer une fonction inconnue \mathbf{X} sans spécification d'un modèle explicite.

$$\mathbf{Y} = \mathbf{X} + \epsilon \text{ où } \epsilon \sim \mathcal{N}(0, \sigma^2)$$

- \mathbf{Y} l'image bruitée.
- \mathbf{X} l'image originale.
- ϵ bruit.

Débruitage multi-échelle des images

- **Modèle d'observation:** $\mathbf{Y} = \mathbf{X} + \epsilon$ où $\epsilon \sim \mathcal{N}(0, \sigma^2)$
- Application de TOD

$$\begin{cases} c_{mn} = a_{mn} + \epsilon_{mn} \\ d_{mn}^{oj} = s_{mn}^{oj} + \epsilon_{mn} \end{cases} \quad j = J_c, \dots, J-1; m, n = 0, 1, \dots, 2^j - 1$$

- **Argument: la parcimonie**
 - Les coefficients significatifs contribuent au signal/image à recouvrer \mathbf{X} .
 - Les coefficients de faibles valeurs sont essentiellement dus au bruit.

Comment distinguer les coefficients significatifs de ceux dus au bruit?

- conserver les coefficients c_{mn} , relatifs aux composantes basses fréquences
 \implies caractéristiques du signal original.
- une sélection judicieuse des coefficients $d_{mn}^{oj} \implies$ **opérateurs de contraction ou de seuillage**

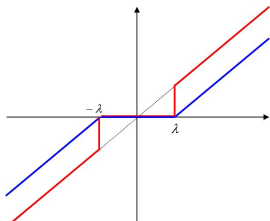
Processus de débruitage

$$Y \xrightarrow{\Phi^T} \{c_{mn}, d_{mn}^{oj}\} \xrightarrow{\text{estimateur non-linéaire } \delta} \{c_{mn}, \delta(d_{mn}^{oj})\} \xrightarrow{\mathcal{R}} \hat{X}$$

Approches de débruitage multi-échelle

1- Débruitage classique

- Travaux fondateurs de Donoho & Johnstone dans le domaine des ondelettes.
- **Idée de base:** appliquer un estimateur non-linéaire (e.g. opérateur de seuillage) sur les coefficients.
- Extraction des coefficients de détail significatifs par comparaison avec un paramètre de seuillage $\lambda > 0$.
- **Exemples d'opérateur d'estimation:** seuillage doux et dur.

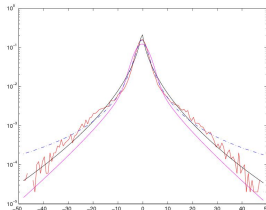


2- Débruitage bayésienne

- Modèle statistique *a priori*: gaussienne, DGG, α -stable, etc.
- Meilleures performances.

Difficultés:

- Problème de modélisation des queues de distribution lourdes.
- Aucune forme analytique pour le débruiteur.
- Problème d'estimation des hyperparamètres.



Plan

- 1 Généralités
 - Tatouage d'image
 - Attaque de tatouage
- 2 **Débruitage multi-échelle**
 - Transformée multi-échelle
 - Régression nonparamétrique
 - **Paradigme bayésien**
 - Débruiteur bayésien
- 3 Attaque de débruitage bayésien
 - Approche proposée
 - Algorithme 1
 - Algorithme 2
- 4 Challenge BOWs-2
 - Contexte
 - Résultats
- 5 Conclusion

Estimation bayésienne

- **Approche bayésienne:** l'image est vue comme les réalisations d'une variable aléatoire ou d'un champ aléatoire.
- **Modèle de dégradation:** $Y = X + \epsilon$
 - La loi a priori $p(x|\theta_1, H)$
 - La loi conditionnelle $p(y|x, \theta_2; H)$
 - La loi marginale $p(y|\theta; H) = \int p(y|x)p(x)dx$
où $\theta = (\theta_1, \theta_2)$ est l'ensemble des hyperparamètres
 - Règle de Bayes:
la loi *a posteriori* $p(x|y, \theta; H) = \frac{p(y|x, \theta_2; H)p(x|\theta_1; H)}{p(y|\theta; H)}$

Le problème de l'estimation bayésienne revient à trouver l'opérateur \mathcal{D} tels que:

$$\hat{x} = \arg \inf_{\mathcal{D} \in \mathcal{O}_n} R(x, \hat{x} = \mathcal{D}y) = E_{Y, X}[L(x, \mathcal{D}y)]$$

Coût $L(x, \hat{x})$	Estimateur	Implémentation
0 - 1	MAP	optimisation
L_2	ECP	intégration

Plan

- 1 Généralités
 - Tatouage d'image
 - Attaque de tatouage
- 2 **Débruitage multi-échelle**
 - Transformée multi-échelle
 - Régression nonparamétrique
 - Paradigme bayésien
 - **Débruiteur bayésien**
- 3 Attaque de débruitage bayésien
 - Approche proposée
 - Algorithme 1
 - Algorithme 2
- 4 Challenge BOWs-2
 - Contexte
 - Résultats
- 5 Conclusion

Modèle a priori: Formes K de Bessel

Définition

La PDF d'une distribution BKF est donnée par [\[Grenander \(2001\)\]](#)

$$f(x; p, c) = \frac{1}{\sqrt{\pi}\Gamma(p)} \left(\frac{c}{2}\right)^{-\frac{p}{2}-\frac{1}{4}} \left|\frac{x}{2}\right|^{p-\frac{1}{2}} K_{p-\frac{1}{2}}\left(\sqrt{\frac{2}{c}}|x|\right)$$

où K_ν est la fonction de Bessel modifiée.

Propriétés

- $p > 0$ et $c > 0$ représentent les paramètres de forme et d'échelle.
- Loi est unimodale, symétrique autour du mode, leptokurtique, et à queues lourdes.

Débruiteur bayésien MAP

- **Modèle d'observation:** $\mathbf{Y} = \mathbf{X} + \epsilon$
- Les coefficients de détail à chaque échelle et à chaque orientation du signal à estimer \mathbf{X} suivent une distribution BKF: $\mathbf{x} \sim \text{BKF}(p, c)$
- Cas du bruit additif gaussien blanc: $\mathbf{Y}|\mathbf{X} \sim \mathcal{N}(\mathbf{x}, \sigma_\epsilon^2)$

Débruiteur MAP BKF

La forme analytique de l'estimateur MAP est donnée par l'expression suivante:

$$\hat{\mathbf{x}}_{MAP}(\mathbf{y}) = \begin{cases} 0 & |\mathbf{y}| \leq \nu \\ \frac{\text{sgn}(\mathbf{y})}{2} \left(\left(|\mathbf{y}| - \sqrt{\frac{2}{c}}\sigma_\epsilon \right) + \sqrt{\left(|\mathbf{y}| - \sqrt{\frac{2}{c}}\sigma_\epsilon \right)^2 + 4(p-1)\sigma_\epsilon^2} \right) & |\mathbf{y}| > \nu \end{cases}$$

où $\nu = \sqrt{2}\sigma_\epsilon \left(\sqrt{2(1-p)} + \frac{\sigma_\epsilon}{\sqrt{c}} \right)$.



L. Boubchir and J. Fadili

"Bayesian Denoising Based on The MAP Estimation in Wavelet-domain Using Bessel K Form Prior",
ICIP 2005.

Estimation des hyperparamètres

L'ensemble des hyperparamètres: $\theta = \{p, c, \sigma_\epsilon\}$

- **Méthode des cumulants**

$$\hat{p} = \frac{3\kappa_2^2}{\kappa_4}, \quad \hat{c} = \frac{\kappa_2}{\hat{p}}$$

où κ_i est le cumulant d'ordre i .

- **Estimateur MAD [Donoho & Johnston (1994)]**

$$\hat{\sigma}_\epsilon = \frac{\text{MAD}(\mathbf{y}_{mn}^{HH_1})}{0.6745}$$

Plan

- 1 Généralités
 - Tatouage d'image
 - Attaque de tatouage
- 2 Débruitage multi-échelle
 - Transformée multi-échelle
 - Régression nonparamétrique
 - Paradigme bayésien
 - Débruiteur bayésien
- 3 **Attaque de débruitage bayésien**
 - **Approche proposée**
 - Algorithme 1
 - Algorithme 2
- 4 Challenge BOWS-2
 - Contexte
 - Résultats
- 5 Conclusion

Modèle d'observation

Tatouage d'image

$\mathbf{Y}_{mn} = \mathbf{X}_{mn} + \mathbf{W}_{mn}$ où $m, n = 0, \dots, N - 1$ avec $N = 2^J$

- \mathbf{Y}_{mn} l'image tatouée.
- \mathbf{X}_{mn} l'image originale.
- \mathbf{W}_{mn} la marque.

Régression nonparamétrique=débruitage

$\mathbf{Y}_{mn}^N = \mathbf{X}_{mn} + \epsilon_{mn}$ où $\epsilon_{mn} \sim \mathcal{N}(0, \sigma^2)$

- \mathbf{Y}_{mn}^N l'image tatouée bruitée.
- \mathbf{X}_{mn} l'image originale.
- ϵ_{mn} bruit blanc gaussien.

Plan

- 1 Généralités
 - Tatouage d'image
 - Attaque de tatouage
- 2 Débruitage multi-échelle
 - Transformée multi-échelle
 - Régression nonparamétrique
 - Paradigme bayésien
 - Débruiteur bayésien
- 3 **Attaque de débruitage bayésien**
 - Approche proposée
 - **Algorithme 1**
 - Algorithme 2
- 4 Challenge BOWs-2
 - Contexte
 - Résultats
- 5 Conclusion

Étape 1

Algorithm 1

- 1: initialiser: $\sigma = 1$
 - 2: **répéter**
 - 3: $\sigma = \sigma + 1$
 - 4: $\mathbf{Y}_{mn}^N = \mathbf{X}_{mn} + \epsilon_{mn}$ où $\epsilon_{mn} \sim \mathcal{N}(0, \sigma^2)$
 - 5: Applique TOD à l'image tatoué bruitée \mathbf{Y}_{mn}^N
 - 6: A chaque échelle et à chaque orientation appliquer le débruiteur bayésien MAP BKF aux coefficients de détails.
 - 7: Appliquer la TODI pour reconstruire l'image débruitée $\hat{\mathbf{X}}$.
 - 8: **jusqu'à** la marque n'est pas présente
-

Plan

- 1 Généralités
 - Tatouage d'image
 - Attaque de tatouage
- 2 Débruitage multi-échelle
 - Transformée multi-échelle
 - Régression nonparamétrique
 - Paradigme bayésien
 - Débruiteur bayésien
- 3 **Attaque de débruitage bayésien**
 - Approche proposée
 - Algorithme 1
 - **Algorithme 2**
- 4 Challenge BOWs-2
 - Contexte
 - Résultats
- 5 Conclusion

Étape 2

Algorithm 2

- 1: initialiser: $\lambda = 1$
 - 2: **répéter**
 - 3: **pour** $i = 1$ to N **faire**
 - 4: **pour** $j = 1$ to N **faire**
 - 5: **si** ($|\mathbf{D}_{ij}| > \lambda$) **alors**
 - 6: $\mathbf{X}_{ij}^{new} = \mathbf{X}_{ij}$
 - 7: **sinon**
 - 8: $\mathbf{X}_{ij}^{new} = \text{Average}(\mathbf{Y}_{ij})$ //Pixel à la position (i, j) est remplacé par la moyenne de ses 8 voisins.
 - 9: **fin si**
 - 10: **fin pour**
 - 11: **fin pour**
 - 12: $\lambda = \lambda + 1$
 - 13: **jusqu'á** la marque n'est pas présente
-

Plan

- 1 Généralités
 - Tatouage d'image
 - Attaque de tatouage
- 2 Débruitage multi-échelle
 - Transformée multi-échelle
 - Régression nonparamétrique
 - Paradigme bayésien
 - Débruiteur bayésien
- 3 Attaque de débruitage bayésien
 - Approche proposée
 - Algorithme 1
 - Algorithme 2
- 4 **Challenge BOWs-2**
 - **Contexte**
 - Résultats
- 5 Conclusion

Contexte

Challenge "Break Our Watermarking System" 2ème édition

- Organiser par "Watermarking Virtual Laboratory" (WAVILA) du Réseau d'Excellence Européen ECRYPT, et supporter par le projet ANR Nebbiano.
- **Objectif**
 - Enlever la marque ou rendre la marque indétectable.
 - $PSNR(I_m, I_a) = 10 \log_{10} \left(\frac{D^2}{EQM} \right) > 20dB$
avec D la dynamique du signal (255 pour des pixels codés sur un octet) et
 $EQM(I_m, I_a) = \frac{1}{MN} \sum_{i=0}^{N-1} \sum_{j=0}^{M-1} (I_m(j, i) - I_a(j, i))^2$



Fall



Palais Royal

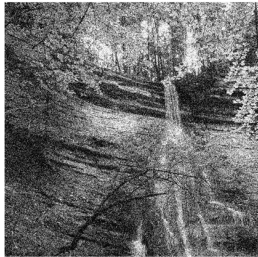


Casimir

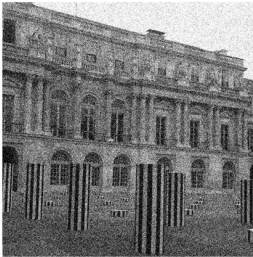
Plan

- 1 Généralités
 - Tatouage d'image
 - Attaque de tatouage
- 2 Débruitage multi-échelle
 - Transformée multi-échelle
 - Régression nonparamétrique
 - Paradigme bayésien
 - Débruiteur bayésien
- 3 Attaque de débruitage bayésien
 - Approche proposée
 - Algorithme 1
 - Algorithme 2
- 4 **Challenge BOWs-2**
 - Contexte
 - **Résultats**
- 5 Conclusion

Résultats



sigma=56



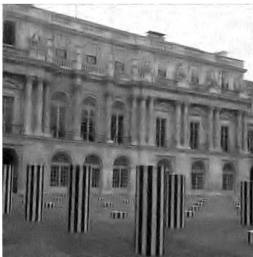
sigma=42



sigma=73



PSNR= 20.16dB

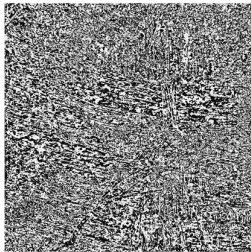


PSNR= 25.27dB

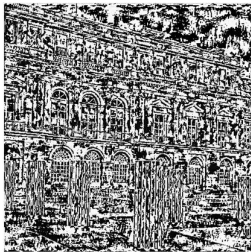


PSNR= 27.94dB

Résultats



Seuil=130



Seuil=27



Seuil=31



PSNR= 21.43dB

+1.27dB



PSNR= 27.79dB

+2.52dB



PSNR= 30.93dB

+2.99dB

Conclusion & perspectives

- Adapter le débruiteur bayésien BKF comme une attaque de filtrage dans le domaine de tatouage d'images.
- Efficacité de notre stratégie d'attaque dans le cadre du challenge BOWS-2.

Perspectives

- Mettre en place un algorithme de tatouage d'image en exploitant la propriété de la parcimonie dans le domaine des transformées multi-échelles non-orientées (e.g. ondelettes) et orientées (e.g. curvelets).

Merci de votre attention
Vos questions?